

In Vivo Efficacy of Calanolides: A Comparative Analysis in Animal Models

Author: BenchChem Technical Support Team. **Date:** December 2025

Compound of Interest

Compound Name: (-)-12-Oxocalanolide B

Cat. No.: B15197025

[Get Quote](#)

For Researchers, Scientists, and Drug Development Professionals

This guide provides a comparative overview of the in vivo efficacy of the calanolide class of non-nucleoside reverse transcriptase inhibitors (NNRTIs), with a focus on contrasting their performance against established antiretroviral agents in relevant animal models. Due to a lack of available in vivo efficacy data for **(-)-12-Oxocalanolide B**, this guide will focus on the most studied compound in this class, (+)-Calanolide A, as a representative. It is important to note that preliminary in vitro studies have suggested that the (-)-12-oxo derivative is significantly less active than (+)-Calanolide A.

Comparative Efficacy of Anti-HIV Agents in Animal Models

The following tables summarize the in vivo efficacy of (+)-Calanolide A and key comparator drugs from different classes in various animal models of HIV infection.

Compound	Drug Class	Animal Model	Dosage	Treatment Duration	Key Efficacy Endpoint & Results	Reference
(+)-Calanolide A	NNRTI	Hollow Fiber SCID Mouse	Not Specified	Not Specified	Suppression of HIV-1 replication (quantitative data not available in cited literature) [1] [2]	[1] [2]
(+)-C ₁₈ -C ₂₀ -C ₂₂ -C ₂₄ -C ₂₆ -C ₂₈ -C ₃₀ -C ₃₂ -C ₃₄ -C ₃₆ -C ₃₈ -C ₄₀ -C ₄₂ -C ₄₄ -C ₄₆ -C ₄₈ -C ₅₀ -C ₅₂ -C ₅₄ -C ₅₆ -C ₅₈ -C ₆₀ -C ₆₂ -C ₆₄ -C ₆₆ -C ₆₈ -C ₇₀ -C ₇₂ -C ₇₄ -C ₇₆ -C ₇₈ -C ₈₀ -C ₈₂ -C ₈₄ -C ₈₆ -C ₈₈ -C ₉₀ -C ₉₂ -C ₉₄ -C ₉₆ -C ₉₈ -C ₁₀₀ -C ₁₀₂ -C ₁₀₄ -C ₁₀₆ -C ₁₀₈ -C ₁₁₀ -C ₁₁₂ -C ₁₁₄ -C ₁₁₆ -C ₁₁₈ -C ₁₂₀ -C ₁₂₂ -C ₁₂₄ -C ₁₂₆ -C ₁₂₈ -C ₁₃₀ -C ₁₃₂ -C ₁₃₄ -C ₁₃₆ -C ₁₃₈ -C ₁₄₀ -C ₁₄₂ -C ₁₄₄ -C ₁₄₆ -C ₁₄₈ -C ₁₅₀ -C ₁₅₂ -C ₁₅₄ -C ₁₅₆ -C ₁₅₈ -C ₁₆₀ -C ₁₆₂ -C ₁₆₄ -C ₁₆₆ -C ₁₆₈ -C ₁₇₀ -C ₁₇₂ -C ₁₇₄ -C ₁₇₆ -C ₁₇₈ -C ₁₈₀ -C ₁₈₂ -C ₁₈₄ -C ₁₈₆ -C ₁₈₈ -C ₁₉₀ -C ₁₉₂ -C ₁₉₄ -C ₁₉₆ -C ₁₉₈ -C ₂₀₀ -C ₂₀₂ -C ₂₀₄ -C ₂₀₆ -C ₂₀₈ -C ₂₁₀ -C ₂₁₂ -C ₂₁₄ -C ₂₁₆ -C ₂₁₈ -C ₂₂₀ -C ₂₂₂ -C ₂₂₄ -C ₂₂₆ -C ₂₂₈ -C ₂₃₀ -C ₂₃₂ -C ₂₃₄ -C ₂₃₆ -C ₂₃₈ -C ₂₄₀ -C ₂₄₂ -C ₂₄₄ -C ₂₄₆ -C ₂₄₈ -C ₂₅₀ -C ₂₅₂ -C ₂₅₄ -C ₂₅₆ -C ₂₅₈ -C ₂₆₀ -C ₂₆₂ -C ₂₆₄ -C ₂₆₆ -C ₂₆₈ -C ₂₇₀ -C ₂₇₂ -C ₂₇₄ -C ₂₇₆ -C ₂₇₈ -C ₂₈₀ -C ₂₈₂ -C ₂₈₄ -C ₂₈₆ -C ₂₈₈ -C ₂₉₀ -C ₂₉₂ -C ₂₉₄ -C ₂₉₆ -C ₂₉₈ -C ₃₀₀ -C ₃₀₂ -C ₃₀₄ -C ₃₀₆ -C ₃₀₈ -C ₃₁₀ -C ₃₁₂ -C ₃₁₄ -C ₃₁₆ -C ₃₁₈ -C ₃₂₀ -C ₃₂₂ -C ₃₂₄ -C ₃₂₆ -C ₃₂₈ -C ₃₃₀ -C ₃₃₂ -C ₃₃₄ -C ₃₃₆ -C ₃₃₈ -C ₃₄₀ -C ₃₄₂ -C ₃₄₄ -C ₃₄₆ -C ₃₄₈ -C ₃₅₀ -C ₃₅₂ -C ₃₅₄ -C ₃₅₆ -C ₃₅₈ -C ₃₆₀ -C ₃₆₂ -C ₃₆₄ -C ₃₆₆ -C ₃₆₈ -C ₃₇₀ -C ₃₇₂ -C ₃₇₄ -C ₃₇₆ -C ₃₇₈ -C ₃₈₀ -C ₃₈₂ -C ₃₈₄ -C ₃₈₆ -C ₃₈₈ -C ₃₉₀ -C ₃₉₂ -C ₃₉₄ -C ₃₉₆ -C ₃₉₈ -C ₄₀₀ -C ₄₀₂ -C ₄₀₄ -C ₄₀₆ -C ₄₀₈ -C ₄₁₀ -C ₄₁₂ -C ₄₁₄ -C ₄₁₆ -C ₄₁₈ -C ₄₂₀ -C ₄₂₂ -C ₄₂₄ -C ₄₂₆ -C ₄₂₈ -C ₄₃₀ -C ₄₃₂ -C ₄₃₄ -C ₄₃₆ -C ₄₃₈ -C ₄₄₀ -C ₄₄₂ -C ₄₄₄ -C ₄₄₆ -C ₄₄₈ -C ₄₅₀ -C ₄₅₂ -C ₄₅₄ -C ₄₅₆ -C ₄₅₈ -C ₄₆₀ -C ₄₆₂ -C ₄₆₄ -C ₄₆₆ -C ₄₆₈ -C ₄₇₀ -C ₄₇₂ -C ₄₇₄ -C ₄₇₆ -C ₄₇₈ -C ₄₈₀ -C ₄₈₂ -C ₄₈₄ -C ₄₈₆ -C ₄₈₈ -C ₄₉₀ -C ₄₉₂ -C ₄₉₄ -C ₄₉₆ -C ₄₉₈ -C ₅₀₀ -C ₅₀₂ -C ₅₀₄ -C ₅₀₆ -C ₅₀₈ -C ₅₁₀ -C ₅₁₂ -C ₅₁₄ -C ₅₁₆ -C ₅₁₈ -C ₅₂₀ -C ₅₂₂ -C ₅₂₄ -C ₅₂₆ -C ₅₂₈ -C ₅₃₀ -C ₅₃₂ -C ₅₃₄ -C ₅₃₆ -C ₅₃₈ -C ₅₄₀ -C ₅₄₂ -C ₅₄₄ -C ₅₄₆ -C ₅₄₈ -C ₅₅₀ -C ₅₅₂ -C ₅₅₄ -C ₅₅₆ -C ₅₅₈ -C ₅₆₀ -C ₅₆₂ -C ₅₆₄ -C ₅₆₆ -C ₅₆₈ -C ₅₇₀ -C ₅₇₂ -C ₅₇₄ -C ₅₇₆ -C ₅₇₈ -C ₅₈₀ -C ₅₈₂ -C ₅₈₄ -C ₅₈₆ -C ₅₈₈ -C ₅₉₀ -C ₅₉₂ -C ₅₉₄ -C ₅₉₆ -C ₅₉₈ -C ₆₀₀ -C ₆₀₂ -C ₆₀₄ -C ₆₀₆ -C ₆₀₈ -C ₆₁₀ -C ₆₁₂ -C ₆₁₄ -C ₆₁₆ -C ₆₁₈ -C ₆₂₀ -C ₆₂₂ -C ₆₂₄ -C ₆₂₆ -C ₆₂₈ -C ₆₃₀ -C ₆₃₂ -C ₆₃₄ -C ₆₃₆ -C ₆₃₈ -C ₆₄₀ -C ₆₄₂ -C ₆₄₄ -C ₆₄₆ -C ₆₄₈ -C ₆₅₀ -C ₆₅₂ -C ₆₅₄ -C ₆₅₆ -C ₆₅₈ -C ₆₆₀ -C ₆₆₂ -C ₆₆₄ -C ₆₆₆ -C ₆₆₈ -C ₆₇₀ -C ₆₇₂ -C ₆₇₄ -C ₆₇₆ -C ₆₇₈ -C ₆₈₀ -C ₆₈₂ -C ₆₈₄ -C ₆₈₆ -C ₆₈₈ -C ₆₉₀ -C ₆₉₂ -C ₆₉₄ -C ₆₉₆ -C ₆₉₈ -C ₇₀₀ -C ₇₀₂ -C ₇₀₄ -C ₇₀₆ -C ₇₀₈ -C ₇₁₀ -C ₇₁₂ -C ₇₁₄ -C ₇₁₆ -C ₇₁₈ -C ₇₂₀ -C ₇₂₂ -C ₇₂₄ -C ₇₂₆ -C ₇₂₈ -C ₇₃₀ -C ₇₃₂ -C ₇₃₄ -C ₇₃₆ -C ₇₃₈ -C ₇₄₀ -C ₇₄₂ -C ₇₄₄ -C ₇₄₆ -C ₇₄₈ -C ₇₅₀ -C ₇₅₂ -C ₇₅₄ -C ₇₅₆ -C ₇₅₈ -C ₇₆₀ -C ₇₆₂ -C ₇₆₄ -C ₇₆₆ -C ₇₆₈ -C ₇₇₀ -C ₇₇₂ -C ₇₇₄ -C ₇₇₆ -C ₇₇₈ -C ₇₈₀ -C ₇₈₂ -C ₇₈₄ -C ₇₈₆ -C ₇₈₈ -C ₇₉₀ -C ₇₉₂ -C ₇₉₄ -C ₇₉₆ -C ₇₉₈ -C ₈₀₀ -C ₈₀₂ -C ₈₀₄ -C ₈₀₆ -C ₈₀₈ -C ₈₁₀ -C ₈₁₂ -C ₈₁₄ -C ₈₁₆ -C ₈₁₈ -C ₈₂₀ -C ₈₂₂ -C ₈₂₄ -C ₈₂₆ -C ₈₂₈ -C ₈₃₀ -C ₈₃₂ -C ₈₃₄ -C ₈₃₆ -C ₈₃₈ -C ₈₄₀ -C ₈₄₂ -C ₈₄₄ -C ₈₄₆ -C ₈₄₈ -C ₈₅₀ -C ₈₅₂ -C ₈₅₄ -C ₈₅₆ -C ₈₅₈ -C ₈₆₀ -C ₈₆₂ -C ₈₆₄ -C ₈₆₆ -C ₈₆₈ -C ₈₇₀ -C ₈₇₂ -C ₈₇₄ -C ₈₇₆ -C ₈₇₈ -C ₈₈₀ -C ₈₈₂ -C ₈₈₄ -C ₈₈₆ -C ₈₈₈ -C ₈₉₀ -C ₈₉₂ -C ₈₉₄ -C ₈₉₆ -C ₈₉₈ -C ₉₀₀ -C ₉₀₂ -C ₉₀₄ -C ₉₀₆ -C ₉₀₈ -C ₉₁₀ -C ₉₁₂ -C ₉₁₄ -C ₉₁₆ -C ₉₁₈ -C ₉₂₀ -C ₉₂₂ -C ₉₂₄ -C ₉₂₆ -C ₉₂₈ -C ₉₃₀ -C ₉₃₂ -C ₉₃₄ -C ₉₃₆ -C ₉₃₈ -C ₉₄₀ -C ₉₄₂ -C ₉₄₄ -C ₉₄₆ -C ₉₄₈ -C ₉₅₀ -C ₉₅₂ -C ₉₅₄ -C ₉₅₆ -C ₉₅₈ -C ₉₆₀ -C ₉₆₂ -C ₉₆₄ -C ₉₆₆ -C ₉₆₈ -C ₉₇₀ -C ₉₇₂ -C ₉₇₄ -C ₉₇₆ -C ₉₇₈ -C ₉₈₀ -C ₉₈₂ -C ₉₈₄ -C ₉₈₆ -C ₉₈₈ -C ₉₉₀ -C ₉₉₂ -C ₉₉₄ -C ₉₉₆ -C ₉₉₈ -C ₉₉₉ -C ₁₀₀₀ -C ₁₀₀₁ -C ₁₀₀₂ -C ₁₀₀₃ -C ₁₀₀₄ -C ₁₀₀₅ -C ₁₀₀₆ -C ₁₀₀₇ -C ₁₀₀₈ -C ₁₀₀₉ -C ₁₀₁₀ -C ₁₀₁₁ -C ₁₀₁₂ -C ₁₀₁₃ -C ₁₀₁₄ -C ₁₀₁₅ -C ₁₀₁₆ -C ₁₀₁₇ -C ₁₀₁₈ -C ₁₀₁₉ -C ₁₀₂₀ -C ₁₀₂₁ -C ₁₀₂₂ -C ₁₀₂₃ -C ₁₀₂₄ -C ₁₀₂₅ -C ₁₀₂₆ -C ₁₀₂₇ -C ₁₀₂₈ -C ₁₀₂₉ -C ₁₀₃₀ -C ₁₀₃₁ -C ₁₀₃₂ -C ₁₀₃₃ -C ₁₀₃₄ -C ₁₀₃₅ -C ₁₀₃₆ -C ₁₀₃₇ -C ₁₀₃₈ -C ₁₀₃₉ -C ₁₀₄₀ -C ₁₀₄₁ -C ₁₀₄₂ -C ₁₀₄₃ -C ₁₀₄₄ -C ₁₀₄₅ -C ₁₀₄₆ -C ₁₀₄₇ -C ₁₀₄₈ -C ₁₀₄₉ -C ₁₀₅₀ -C ₁₀₅₁ -C ₁₀₅₂ -C ₁₀₅₃ -C ₁₀₅₄ -C ₁₀₅₅ -C ₁₀₅₆ -C ₁₀₅₇ -C ₁₀₅₈ -C ₁₀₅₉ -C ₁₀₆₀ -C ₁₀₆₁ -C ₁₀₆₂ -C ₁₀₆₃ -C ₁₀₆₄ -C ₁₀₆₅ -C ₁₀₆₆ -C ₁₀₆₇ -C ₁₀₆₈ -C ₁₀₆₉ -C ₁₀₇₀ -C ₁₀₇₁ -C ₁₀₇₂ -C ₁₀₇₃ -C ₁₀₇₄ -C ₁₀₇₅ -C ₁₀₇₆ -C ₁₀₇₇ -C ₁₀₇₈ -C ₁₀₇₉ -C ₁₀₈₀ -C ₁₀₈₁ -C ₁₀₈₂ -C ₁₀₈₃ -C ₁₀₈₄ -C ₁₀₈₅ -C ₁₀₈₆ -C ₁₀₈₇ -C ₁₀₈₈ -C ₁₀₈₉ -C ₁₀₉₀ -C ₁₀₉₁ -C ₁₀₉₂ -C ₁₀₉₃ -C ₁₀₉₄ -C ₁₀₉₅ -C ₁₀₉₆ -C ₁₀₉₇ -C ₁₀₉₈ -C ₁₀₉₉ -C ₁₁₀₀ -C ₁₁₀₁ -C ₁₁₀₂ -C ₁₁₀₃ -C ₁₁₀₄ -C ₁₁₀₅ -C ₁₁₀₆ -C ₁₁₀₇ -C ₁₁₀₈ -C ₁₁₀₉ -C ₁₁₁₀ -C ₁₁₁₁ -C ₁₁₁₂ -C ₁₁₁₃ -C ₁₁₁₄ -C ₁₁₁₅ -C ₁₁₁₆ -C ₁₁₁₇ -C ₁₁₁₈ -C ₁₁₁₉ -C ₁₁₂₀ -C ₁₁₂₁ -C ₁₁₂₂ -C ₁₁₂₃ -C ₁₁₂₄ -C ₁₁₂₅ -C ₁₁₂₆ -C ₁₁₂₇ -C ₁₁₂₈ -C ₁₁₂₉ -C ₁₁₃₀ -C ₁₁₃₁ -C ₁₁₃₂ -C ₁₁₃₃ -C ₁₁₃₄ -C ₁₁₃₅ -C ₁₁₃₆ -C ₁₁₃₇ -C ₁₁₃₈ -C ₁₁₃₉ -C ₁₁₄₀ -C ₁₁₄₁ -C ₁₁₄₂ -C ₁₁₄₃ -C ₁₁₄₄ -C ₁₁₄₅ -C ₁₁₄₆ -C ₁₁₄₇ -C ₁₁₄₈ -C ₁₁₄₉ -C ₁₁₅₀ -C ₁₁₅₁ -C ₁₁₅₂ -C ₁₁₅₃ -C ₁₁₅₄ -C ₁₁₅₅ -C ₁₁₅₆ -C ₁₁₅₇ -C ₁₁₅₈ -C ₁₁₅₉ -C ₁₁₆₀ -C ₁₁₆₁ -C ₁₁₆₂ -C ₁₁₆₃ -C ₁₁₆₄ -C ₁₁₆₅ -C ₁₁₆₆ -C ₁₁₆₇ -C ₁₁₆₈ -C ₁₁₆₉ -C ₁₁₇₀ -C ₁₁₇₁ -C ₁₁₇₂ -C ₁₁₇₃ -C ₁₁₇₄ -C ₁₁₇₅ -C ₁₁₇₆ -C ₁₁₇₇ -C ₁₁₇₈ -C ₁₁₇₉ -C ₁₁₈₀ -C ₁₁₈₁ -C ₁₁₈₂ -C ₁₁₈₃ -C ₁₁₈₄ -C ₁₁₈₅ -C ₁₁₈₆ -C ₁₁₈₇ -C ₁₁₈₈ -C ₁₁₈₉ -C ₁₁₉₀ -C ₁₁₉₁ -C ₁₁₉₂ -C ₁₁₉₃ -C ₁₁₉₄ -C ₁₁₉₅ -C ₁₁₉₆ -C ₁₁₉₇ -C ₁₁₉₈ -C ₁₁₉₉ -C ₁₂₀₀ -C ₁₂₀₁ -C ₁₂₀₂ -C ₁₂₀₃ -C ₁₂₀₄ -C ₁₂₀₅ -C ₁₂₀₆ -C ₁₂₀₇ -C ₁₂₀₈ -C ₁₂₀₉ -C ₁₂₁₀ -C ₁₂₁₁ -C ₁₂₁₂ -C ₁₂₁₃ -C ₁₂₁₄ -C ₁₂₁₅ -C ₁₂₁₆ -C ₁₂₁₇ -C ₁₂₁₈ -C ₁₂₁₉ -C ₁₂₂₀ -C ₁₂₂₁ -C ₁₂₂₂ -C ₁₂₂₃ -C ₁₂₂₄ -C ₁₂₂₅ -C ₁₂₂₆ -C ₁₂₂₇ -C ₁₂₂₈ -C ₁₂₂₉ -C ₁₂₃₀ -C ₁₂₃₁ -C ₁₂₃₂ -C ₁₂₃₃ -C ₁₂₃₄ -C ₁₂₃₅ -C ₁₂₃₆ -C ₁₂₃₇ -C ₁₂₃₈ -C ₁₂₃₉ -C ₁₂₄₀ -C ₁₂₄₁ -C ₁₂₄₂ -C ₁₂₄₃ -C ₁₂₄₄ -C ₁₂₄₅ -C ₁₂₄₆ -C ₁₂₄₇ -C ₁₂₄₈ -C ₁₂₄₉ -C ₁₂₅₀ -C ₁₂₅₁ -C ₁₂₅₂ -C ₁₂₅₃ -C ₁₂₅₄ -C ₁₂₅₅ -C ₁₂₅₆ -C ₁₂₅₇ -C ₁₂₅₈ -C ₁₂₅₉ -C ₁₂₆₀ -C ₁₂₆₁ -C ₁₂₆₂ -C ₁₂₆₃ -C ₁₂₆₄ -C ₁₂₆₅ -C ₁₂₆₆ -C ₁₂₆₇ -C ₁₂₆₈ -C ₁₂₆₉ -C ₁₂₇₀ -C ₁₂₇₁ -C ₁₂₇₂ -C ₁₂₇₃ -C ₁₂₇₄ -C ₁₂₇₅ -C ₁₂₇₆ -C ₁₂₇₇ -C ₁₂₇₈ -C ₁₂₇₉ -C ₁₂₈₀ -C ₁₂₈₁ -C ₁₂₈₂ -C ₁₂₈₃ -C ₁₂₈₄ -C ₁₂₈₅ -C ₁₂₈₆ -C ₁₂₈₇ -C ₁₂₈₈ -C ₁₂₈₉ -C ₁₂₉₀ -C ₁₂₉₁ -C ₁₂₉₂ -C ₁₂₉₃ -C ₁₂₉₄ -C ₁₂₉₅ -C ₁₂₉₆ -C ₁₂₉₇ -C ₁₂₉₈ -C ₁₂₉₉ -C ₁₃₀₀ -C ₁₃₀₁ -C ₁₃₀₂ -C ₁₃₀₃ -C ₁₃₀₄ -C ₁₃₀₅ -C ₁₃₀₆ -C ₁₃₀₇ -C ₁₃₀₈ -C ₁₃₀₉ -C ₁₃₁₀ -C ₁₃₁₁ -C ₁₃₁₂ -C ₁₃₁₃ -C ₁₃₁₄ -C ₁₃₁₅ -C ₁₃₁₆ -C ₁₃₁₇ -C ₁₃₁₈ -C ₁₃₁₉ -C ₁₃₂₀ -C ₁₃₂₁ -C ₁₃₂₂ -C ₁₃₂₃ -C ₁₃₂₄ -C ₁₃₂₅ -C ₁₃₂₆ -C ₁₃₂₇ -C ₁₃₂₈ -C ₁₃₂₉ -C ₁₃₃₀ -C ₁₃₃₁ -C ₁₃₃₂ -C ₁₃₃₃ -C ₁₃₃₄ -C ₁₃₃₅ -C ₁₃₃₆ -C ₁₃₃₇ -C ₁₃₃₈ -C ₁₃₃₉ -C ₁₃₄₀ -C ₁₃₄₁ -C ₁₃₄₂ -C ₁₃₄₃ -C ₁₃₄₄ -C ₁₃₄₅ -C ₁₃₄₆ -C ₁₃₄₇ -C ₁₃₄₈ -C ₁₃₄₉ -C ₁₃₅₀ -C ₁₃₅₁ -C ₁₃₅₂ -C ₁₃₅₃ -C ₁₃₅₄ -C ₁₃₅₅ -C ₁₃₅₆ -C ₁₃₅₇ -C ₁₃₅₈ -C ₁₃₅₉ -C ₁₃₆₀ -C ₁₃₆₁ -C ₁₃₆₂ -C ₁₃₆₃ -C ₁₃₆₄ -C ₁₃₆₅ -C ₁₃₆₆ -C ₁₃₆₇ -C ₁₃₆₈ -C ₁₃₆₉ -C ₁₃₇₀ -C ₁₃₇₁ -C ₁₃₇₂ -C ₁₃₇₃ -C ₁₃₇₄ -C ₁₃₇₅ -C ₁₃₇₆ -C ₁₃₇₇ -C ₁₃₇₈ -C ₁₃₇₉ -C ₁₃₈₀ -C ₁₃₈₁ -C ₁₃₈₂ -C ₁₃₈₃ -C ₁₃₈₄ -C ₁₃₈₅ -C ₁₃₈₆ -C ₁₃₈₇ -C ₁₃₈₈ -C ₁₃₈₉ -C ₁₃₉₀ -C ₁₃₉₁ -C ₁₃₉₂ -C ₁₃₉₃ -C ₁₃₉₄ -C ₁₃₉₅ -C ₁₃₉₆ -C ₁₃₉₇ -C ₁₃₉₈ -C ₁₃₉₉ -C ₁₄₀₀ -C ₁₄₀₁ -C ₁₄₀₂ -C ₁₄₀₃ -C ₁₄₀₄ -C ₁₄₀₅ -C ₁₄₀₆ -C ₁₄₀₇ -C ₁₄₀₈ -C ₁₄₀₉ -C ₁₄₁₀ -C ₁₄₁₁ -C ₁₄₁₂ -C ₁₄₁₃ -C ₁₄₁₄ -C ₁₄₁₅ -C ₁₄₁₆ -C ₁₄₁₇ -C ₁₄₁₈ -C ₁₄₁₉ -C ₁₄₂₀ -C ₁₄₂₁ -C ₁₄₂₂ -C ₁₄₂₃ -C ₁₄₂₄ -C ₁₄₂₅ -C ₁₄₂₆ -C ₁₄₂₇ -C ₁₄₂₈ -C ₁₄₂₉ -C ₁₄₃₀ -C ₁₄₃₁ -C ₁₄₃₂ -C ₁₄₃₃ -C ₁₄₃₄ -C ₁₄₃₅ -C ₁₄₃₆ -C ₁₄₃₇ -C ₁₄₃₈ -C ₁₄₃₉ -C ₁₄₄₀ -C ₁₄₄₁ -C ₁₄₄₂ -C ₁₄₄₃ -C ₁₄₄₄ -C ₁₄₄₅ -C ₁₄₄₆ -C ₁₄₄₇ -C ₁₄₄₈ -C ₁₄₄₉ -C ₁₄₅₀ -C ₁₄₅₁ -C ₁₄₅₂ -C ₁₄₅₃ -C ₁₄₅₄ -C ₁₄₅₅ -C ₁₄₅₆ -C ₁₄₅₇ -C ₁₄₅₈ -C ₁₄₅₉ -C ₁₄₆₀ -C ₁₄₆₁ -C ₁₄₆₂ -C ₁₄₆₃ -C ₁₄₆₄ -C ₁₄₆₅ -C ₁₄₆₆ -C ₁₄₆₇ -C ₁₄₆₈ -C ₁₄₆₉ -C ₁₄₇₀ -C ₁₄₇₁ -C ₁₄₇₂ -C ₁₄₇₃ -C ₁₄₇₄ -C ₁₄₇₅ -C ₁₄₇₆ -C ₁₄₇₇ -C ₁₄₇₈ -C ₁₄₇₉ -C ₁₄₈₀ -C ₁₄₈₁ -C ₁₄₈₂ -C ₁₄₈₃ -C ₁₄₈₄ -C ₁₄₈₅ -C ₁₄₈₆ -C ₁₄₈₇ -C ₁₄₈₈ -C ₁₄₈₉ -C ₁₄₉₀ -C ₁₄₉₁ -C ₁₄₉₂ -C ₁₄₉₃ -C ₁₄₉₄ -C ₁₄₉₅ -C ₁₄₉₆ -C ₁₄₉₇ -C ₁₄₉₈ -C ₁₄₉₉ -C ₁₅₀₀ -C ₁₅₀₁ -C ₁₅₀₂ -C ₁₅₀₃ -C ₁₅₀₄ -C ₁₅₀₅ -C ₁₅₀₆ -C ₁₅₀₇ -C ₁₅₀₈ -C ₁₅₀₉ -C ₁₅₁₀ -C ₁₅₁₁ -C ₁₅₁₂ -C ₁₅₁₃ -C ₁₅₁₄ -C ₁₅₁₅ -C ₁₅₁₆ -C ₁₅₁₇ -C ₁₅₁₈ -C ₁₅₁₉ -C ₁₅₂₀ -C ₁₅₂₁ -C ₁₅						

Tenofovir Alafenamide e (TAF)	NRTI	SHIV- positive Non- human Primate	Not Specified (via subcutane ous implant)	2 weeks	Mean viral load reduction of $-1.19 \pm$ $0.50 \log_{10}$ copies/mL	[2]
Efavirenz (EFV)	NNRTI	In vitro-in vivo extrapolati on model (human data)	600 mg (standard dose)	Not Applicable	80% probability of viral suppressio n	
400 mg	Not Applicable	69-82% probability of viral suppressio n (depending on genotype)				
200 mg	Not Applicable	54-72% probability of viral suppressio n (depending on genotype)				

Note: The hollow fiber SCID mouse model provides an in vivo-like environment for assessing drug efficacy on HIV-infected cells.

Experimental Protocols

Hollow Fiber SCID Mouse Assay for Anti-HIV Efficacy

This protocol provides a generalized methodology for the *in vivo* hollow fiber assay used to screen anti-HIV compounds, based on descriptions of the model.

Objective: To evaluate the *in vivo* efficacy of novel antiretroviral compounds against HIV-1 replication in a cost-effective and relatively high-throughput manner.

Materials:

- Severe Combined Immunodeficient (SCID) mice
- Human lymphoid CD4-positive cells (e.g., CEM-SS)
- HIV-1 laboratory strains
- Hollow fibers (polyvinylidene fluoride - PVDF)
- Cell culture medium and supplements
- Test compound and vehicle control
- Standard antiretroviral drugs (e.g., AZT) for positive control
- Reagents for p24 antigen ELISA and reverse transcriptase (RT) activity assays

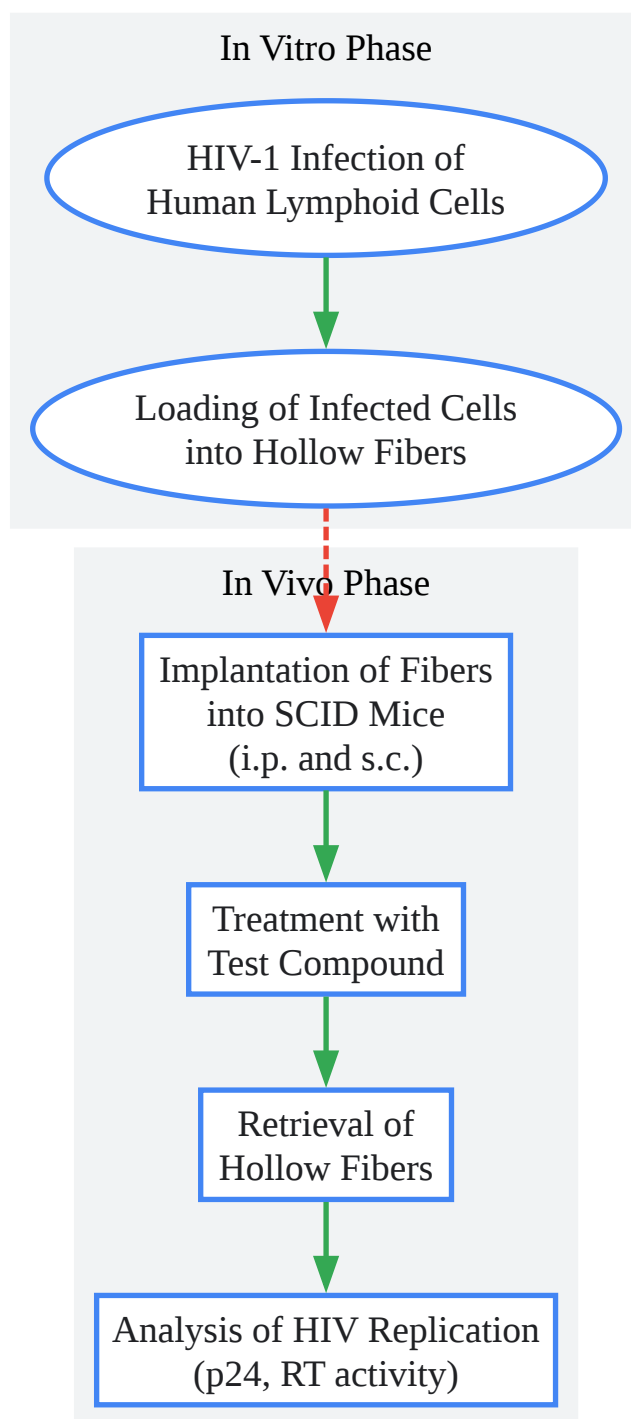
Procedure:

- **Cell Preparation:** Human lymphoid cells are cultured and infected with a known titer of HIV-1 *in vitro*.
- **Hollow Fiber Loading:** The infected cells are carefully loaded into semi-permeable hollow fibers. The ends of the fibers are sealed.
- **Surgical Implantation:** The hollow fibers containing the HIV-infected cells are surgically implanted into SCID mice. Typically, fibers are placed in both the intraperitoneal (i.p.) and subcutaneous (s.c.) compartments to assess drug efficacy in different physiological environments.

- **Drug Administration:** Following a brief recovery period, the mice are treated with the test compound, vehicle control, or a positive control drug (e.g., AZT) via a clinically relevant route of administration (e.g., oral gavage, intraperitoneal injection). Dosing schedules can vary depending on the pharmacokinetic properties of the compound.
- **Fiber Retrieval and Analysis:** After the treatment period, the mice are euthanized, and the hollow fibers are retrieved.
- **Efficacy Assessment:** The cells within the fibers are harvested, and the level of HIV-1 replication is quantified using standard virological assays:
 - **p24 Antigen Assay:** Measures the concentration of the viral core protein p24.
 - **Reverse Transcriptase (RT) Activity Assay:** Measures the activity of the viral enzyme essential for replication.
 - A reduction in p24 levels and/or RT activity in the treated groups compared to the vehicle control group indicates antiviral efficacy.

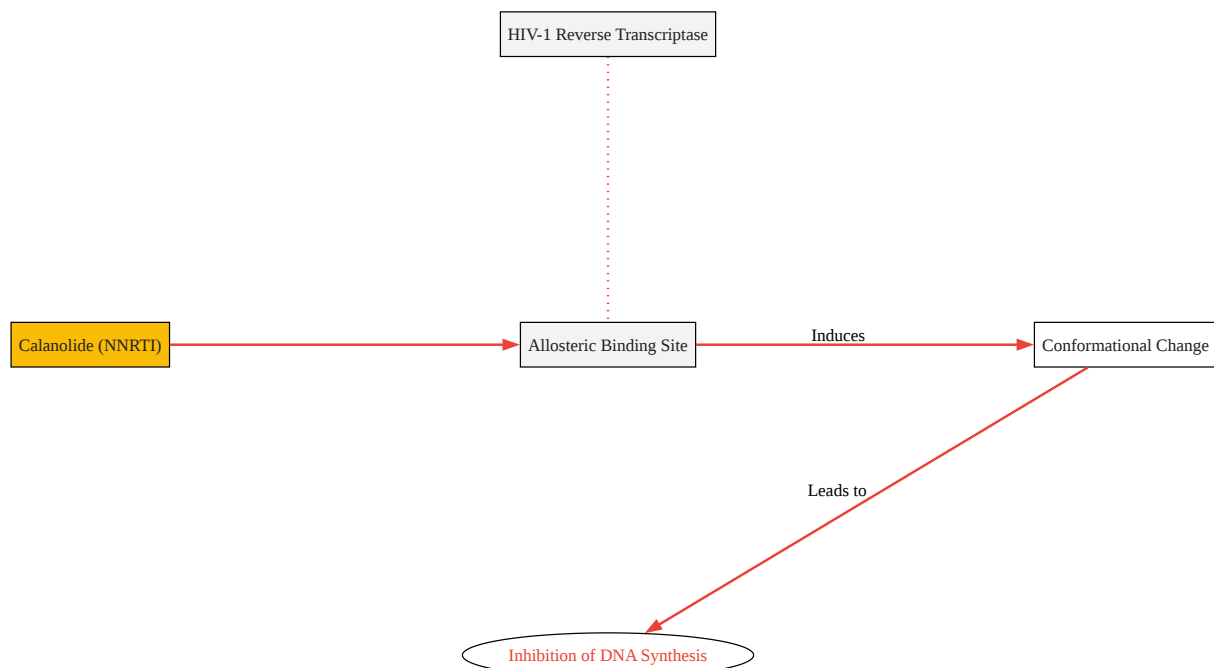
Visualizing the Drug Evaluation Workflow and HIV-1 RT Inhibition

The following diagrams illustrate the experimental workflow for evaluating anti-HIV compounds and the mechanism of action of NNRTIs like the calanolides.



[Click to download full resolution via product page](#)

Experimental workflow for the hollow fiber SCID mouse assay.



[Click to download full resolution via product page](#)

Mechanism of action of Calanolides as NNRTIs.

Need Custom Synthesis?

BenchChem offers custom synthesis for rare earth carbides and specific isotopic labeling.

Email: info@benchchem.com or [Request Quote Online](#).

References

- 1. Efficacy of AZT therapy in reducing p24 antigen burden in a modified SCID mouse model of HIV infection - PubMed [pubmed.ncbi.nlm.nih.gov]
- 2. Viral load Reduction in SHIV-Positive Nonhuman Primates via Long-Acting Subcutaneous Tenofovir Alafenamide Fumarate Release from a Nanofluidic Implant - PMC [pmc.ncbi.nlm.nih.gov]
- To cite this document: BenchChem. [In Vivo Efficacy of Calanolides: A Comparative Analysis in Animal Models]. BenchChem, [2025]. [Online PDF]. Available at: [<https://www.benchchem.com/product/b15197025#in-vivo-efficacy-of-12-oxocalanolide-b-in-animal-models>]

Disclaimer & Data Validity:

The information provided in this document is for Research Use Only (RUO) and is strictly not intended for diagnostic or therapeutic procedures. While BenchChem strives to provide accurate protocols, we make no warranties, express or implied, regarding the fitness of this product for every specific experimental setup.

Technical Support: The protocols provided are for reference purposes. Unsure if this reagent suits your experiment? [[Contact our Ph.D. Support Team for a compatibility check](#)]

Need Industrial/Bulk Grade? [Request Custom Synthesis Quote](#)

BenchChem

Our mission is to be the trusted global source of essential and advanced chemicals, empowering scientists and researchers to drive progress in science and industry.

Contact

Address: 3281 E Guasti Rd
Ontario, CA 91761, United States
Phone: (601) 213-4426
Email: info@benchchem.com